

FIG. 1
(PRIOR ART)

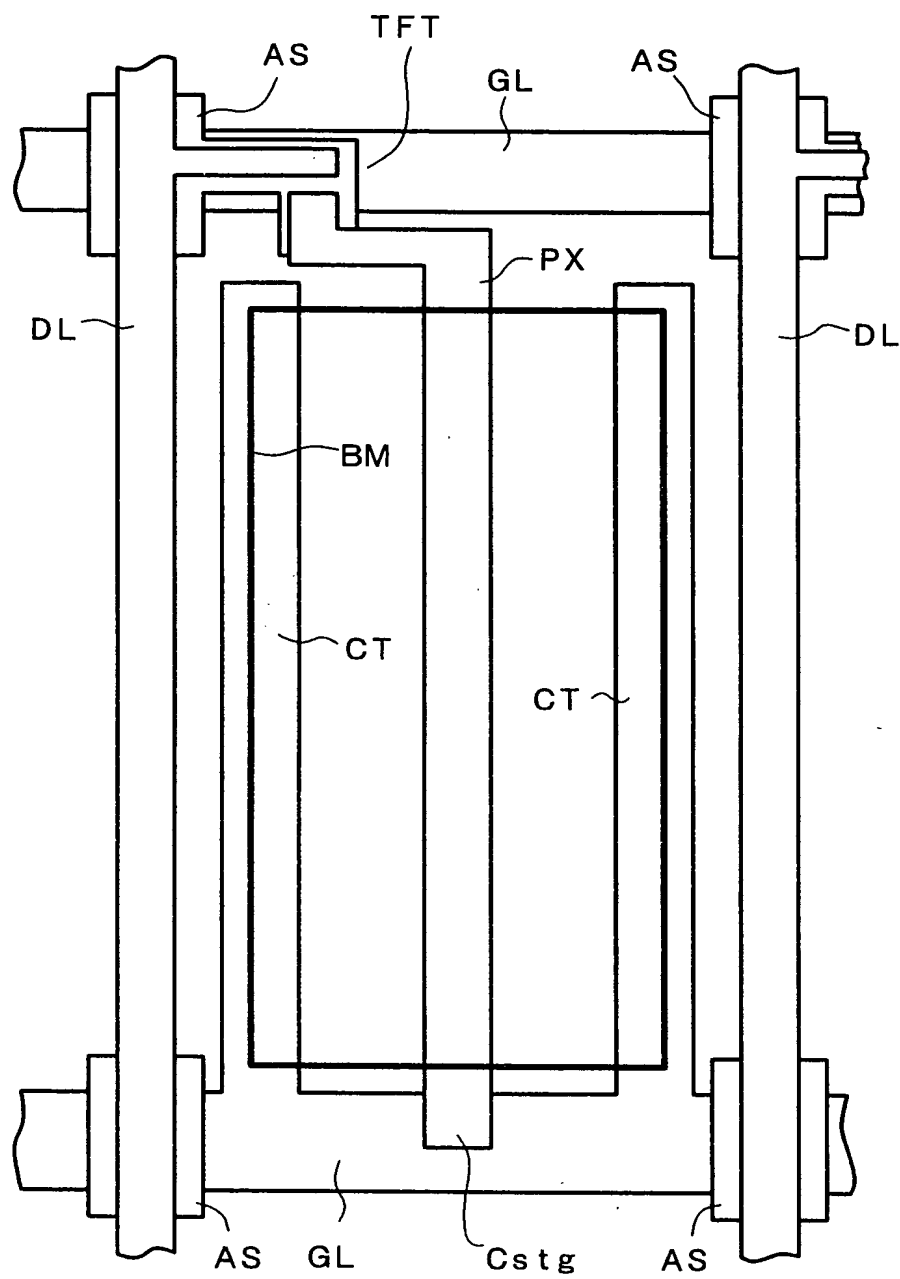


FIG. 2 (A) FIG. 2 (B) FIG. 2 (C)

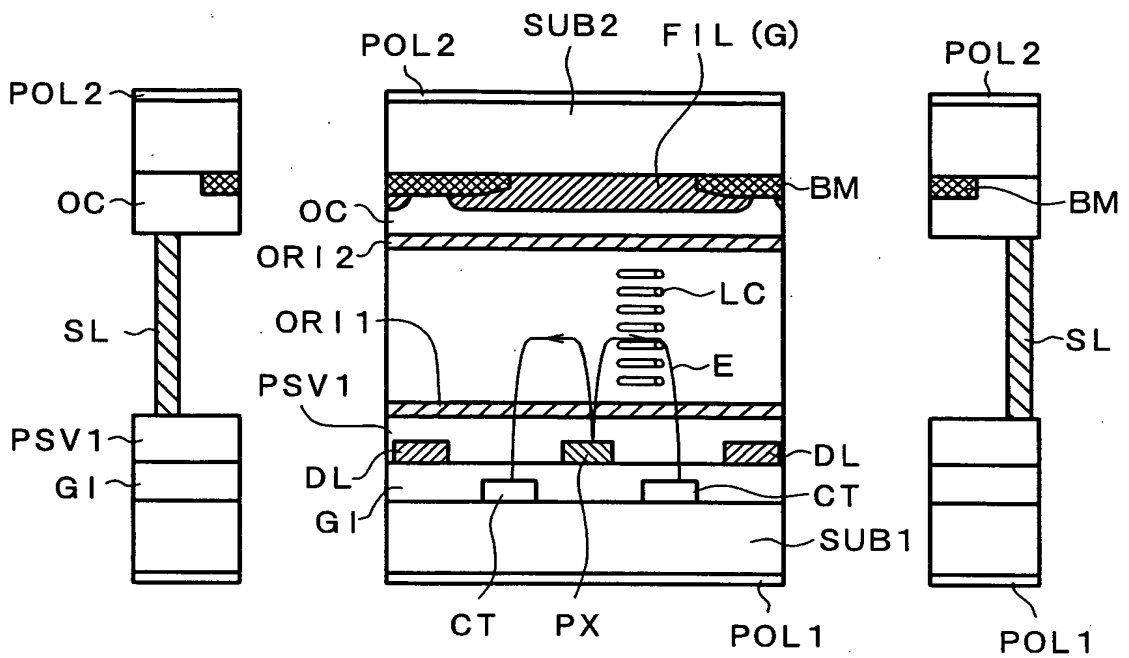


FIG. 3

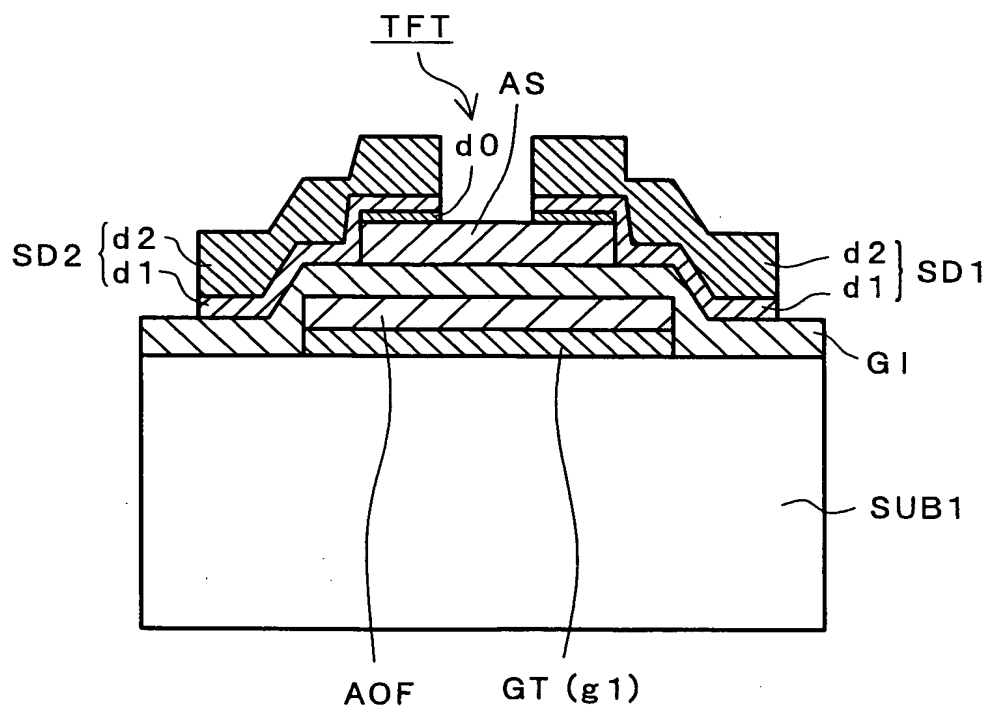


FIG. 4

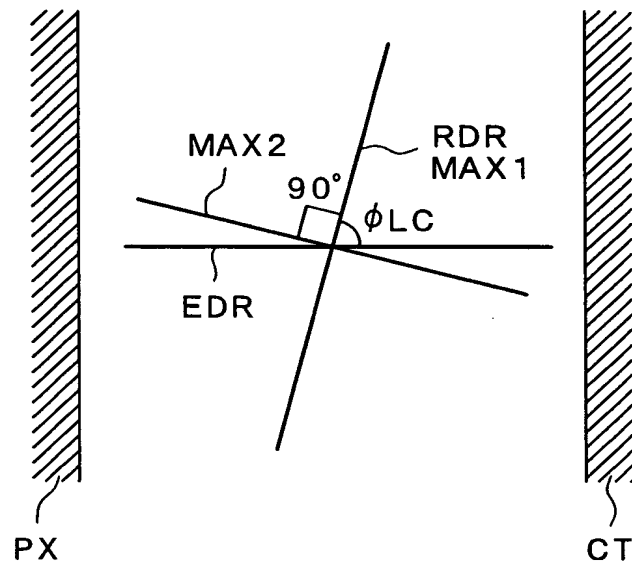


FIG. 5

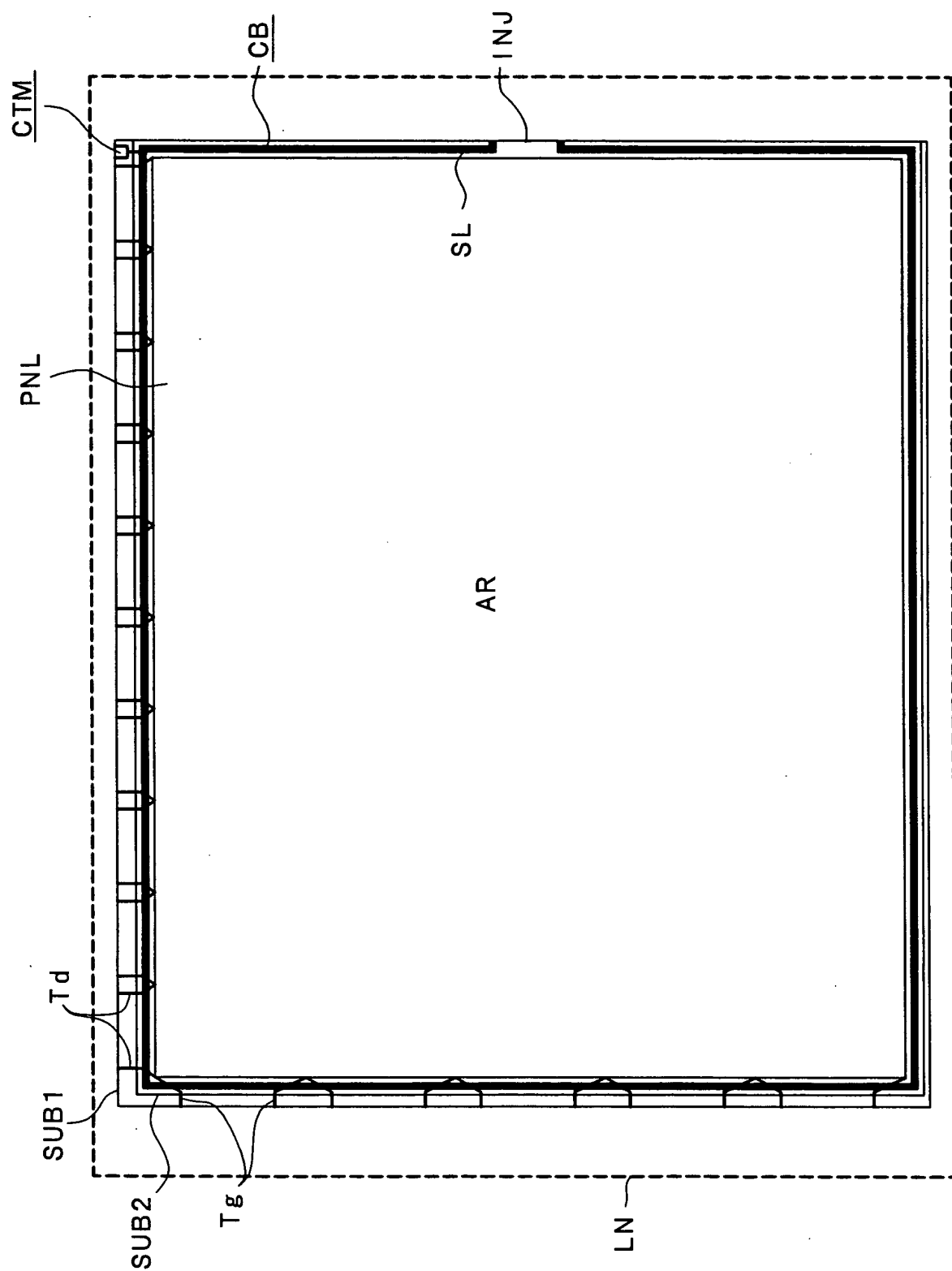


FIG. 6

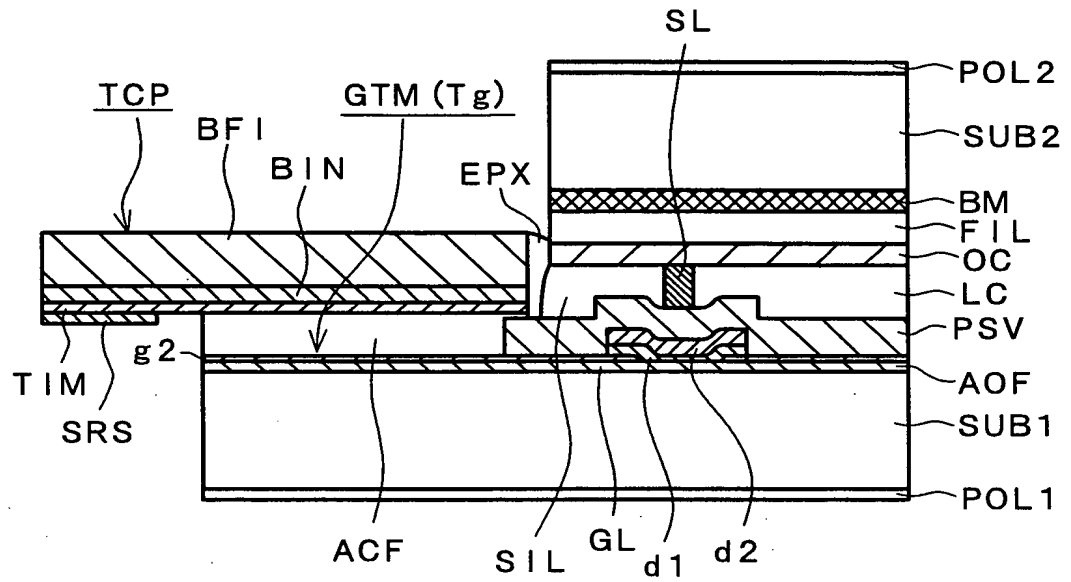


FIG. 7

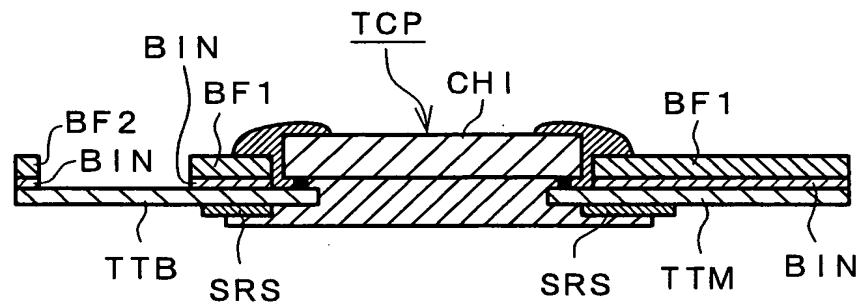
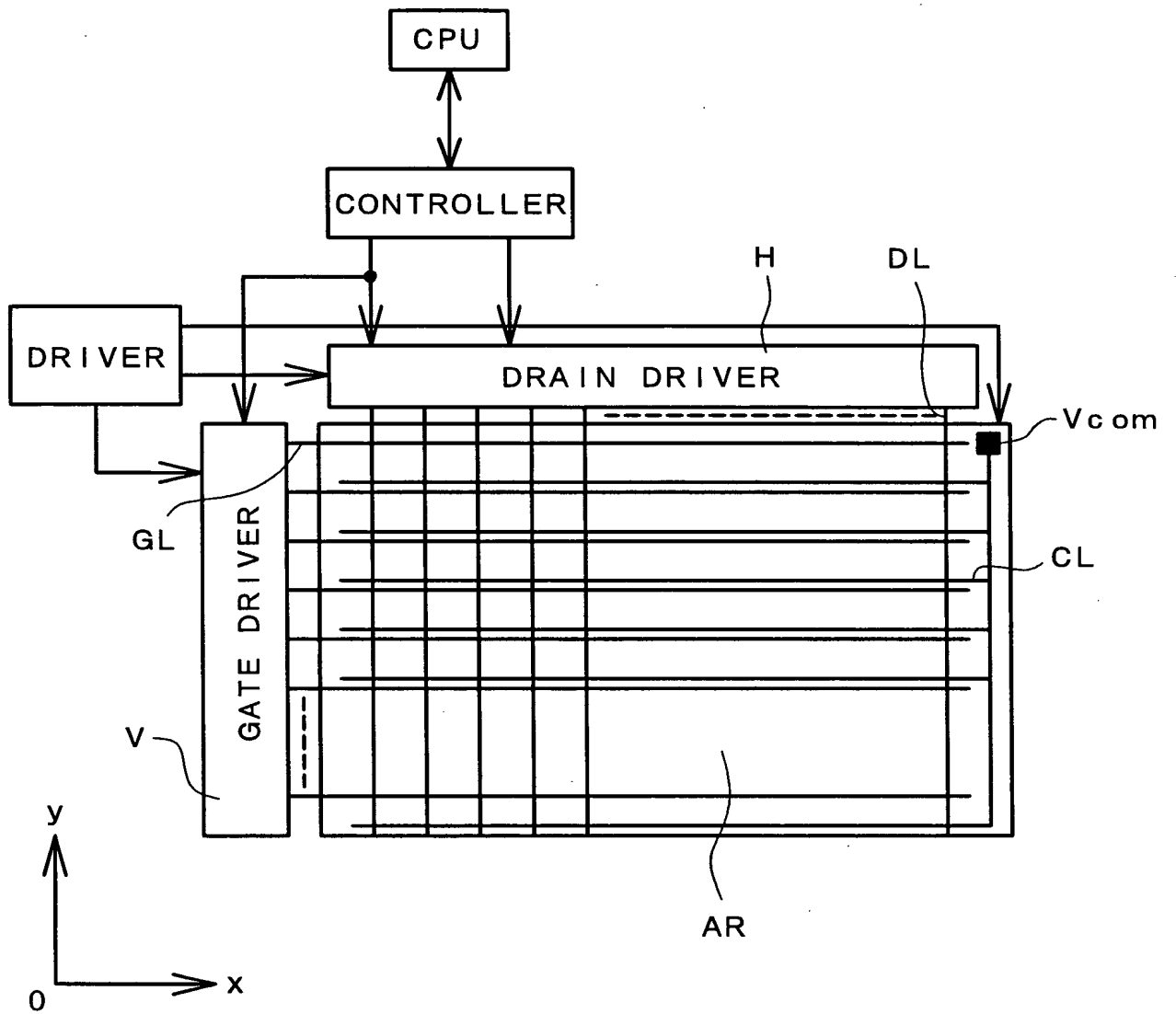


FIG. 8



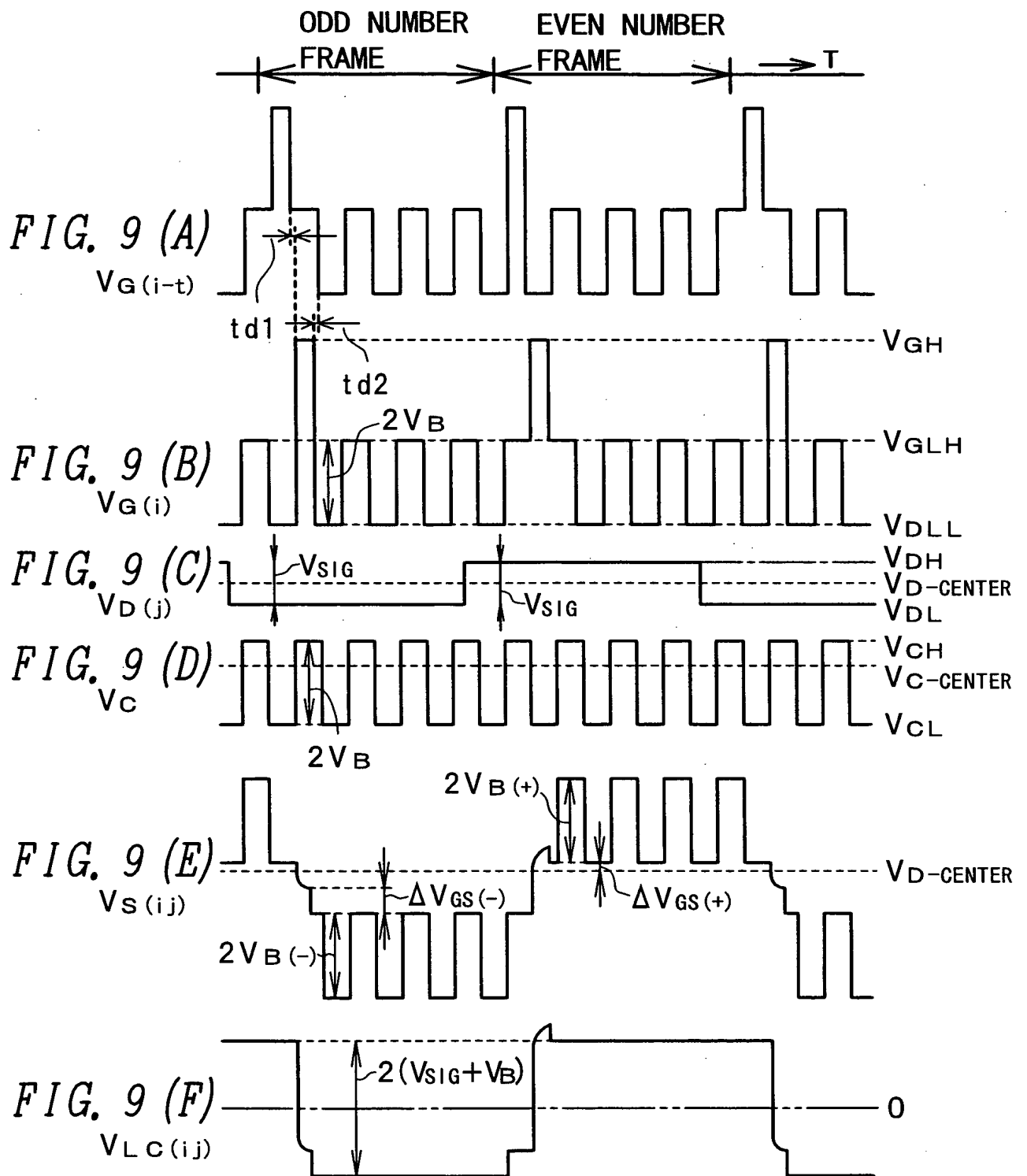


FIG. 10

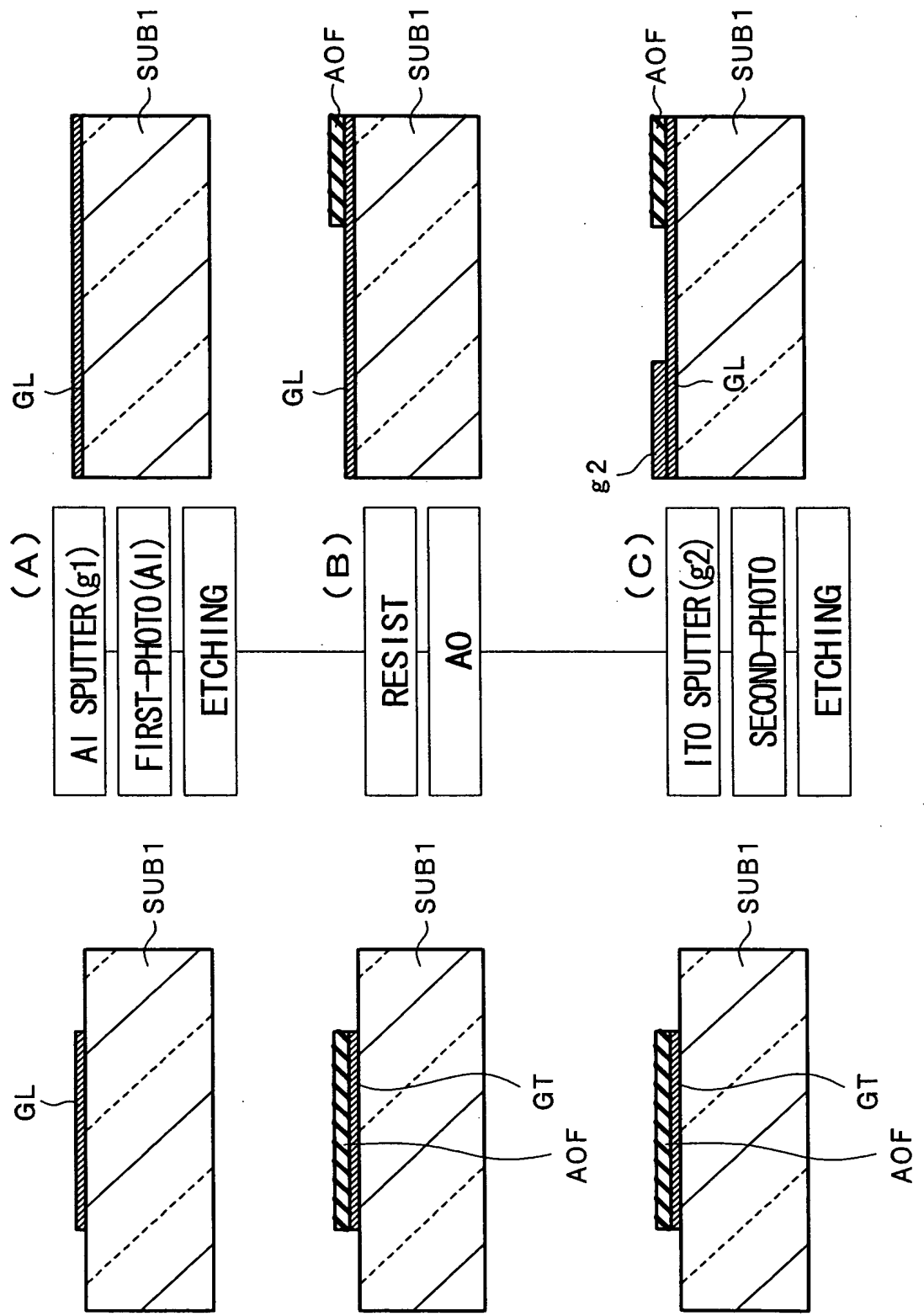


FIG. 11

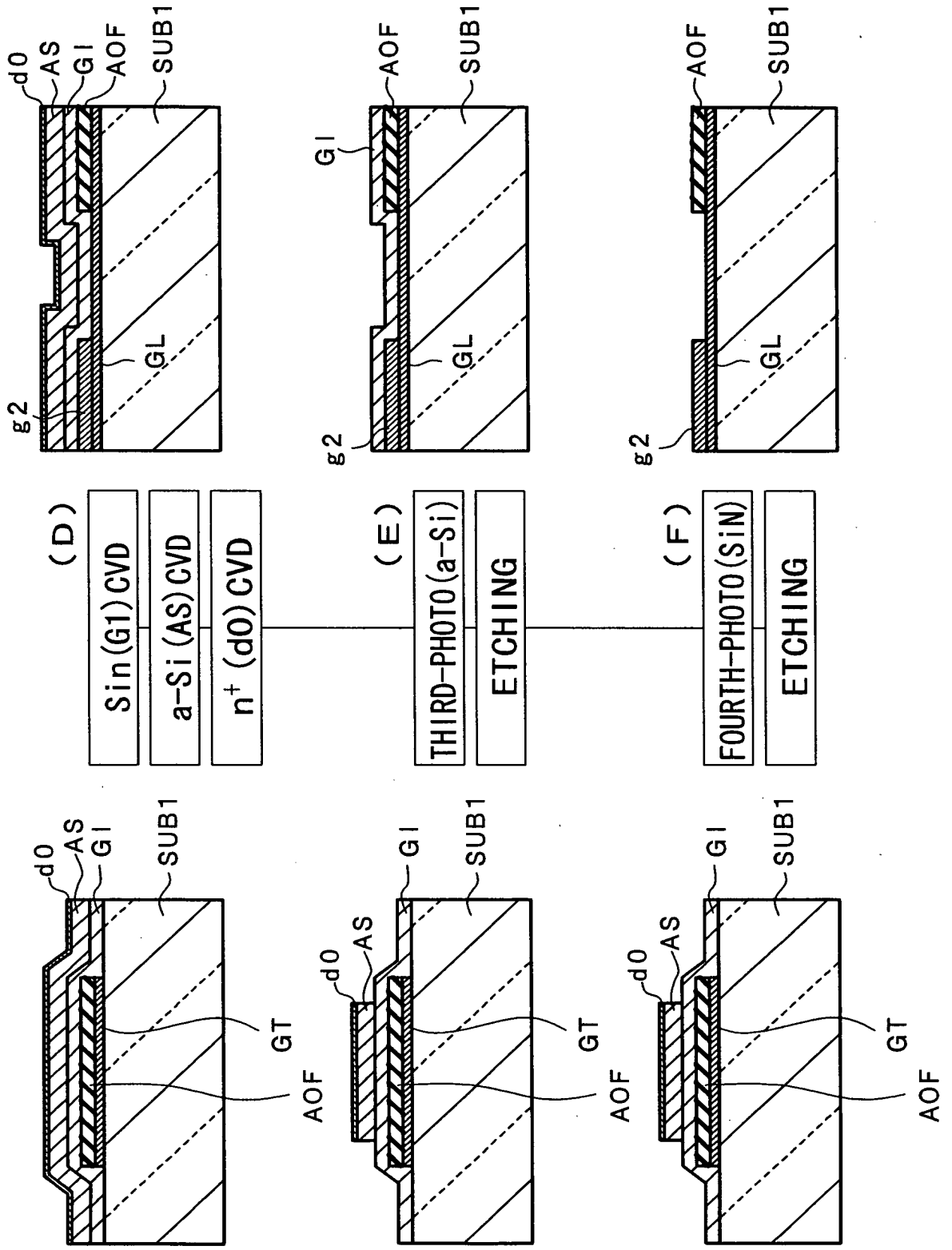


FIG. 12

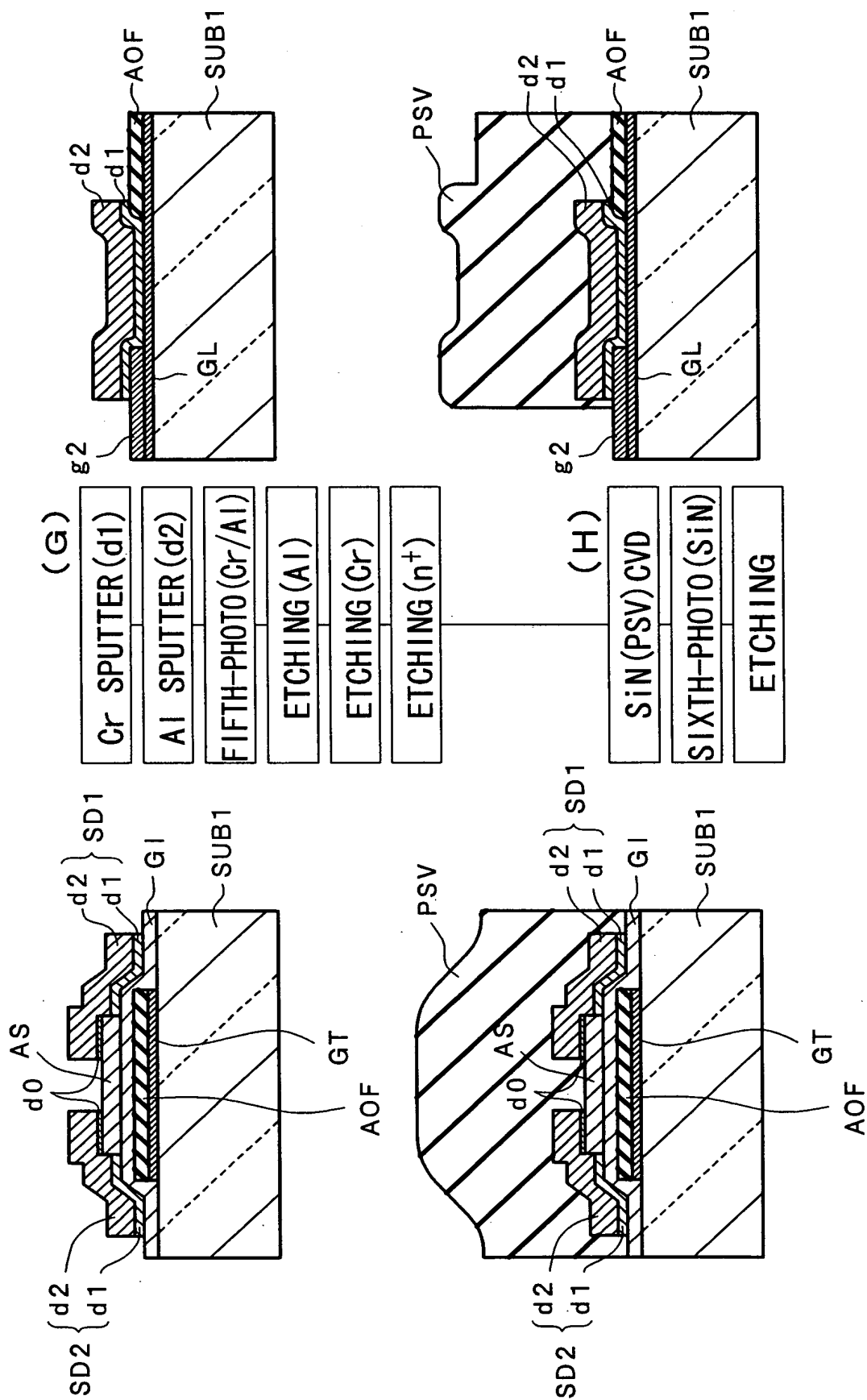


FIG. 13

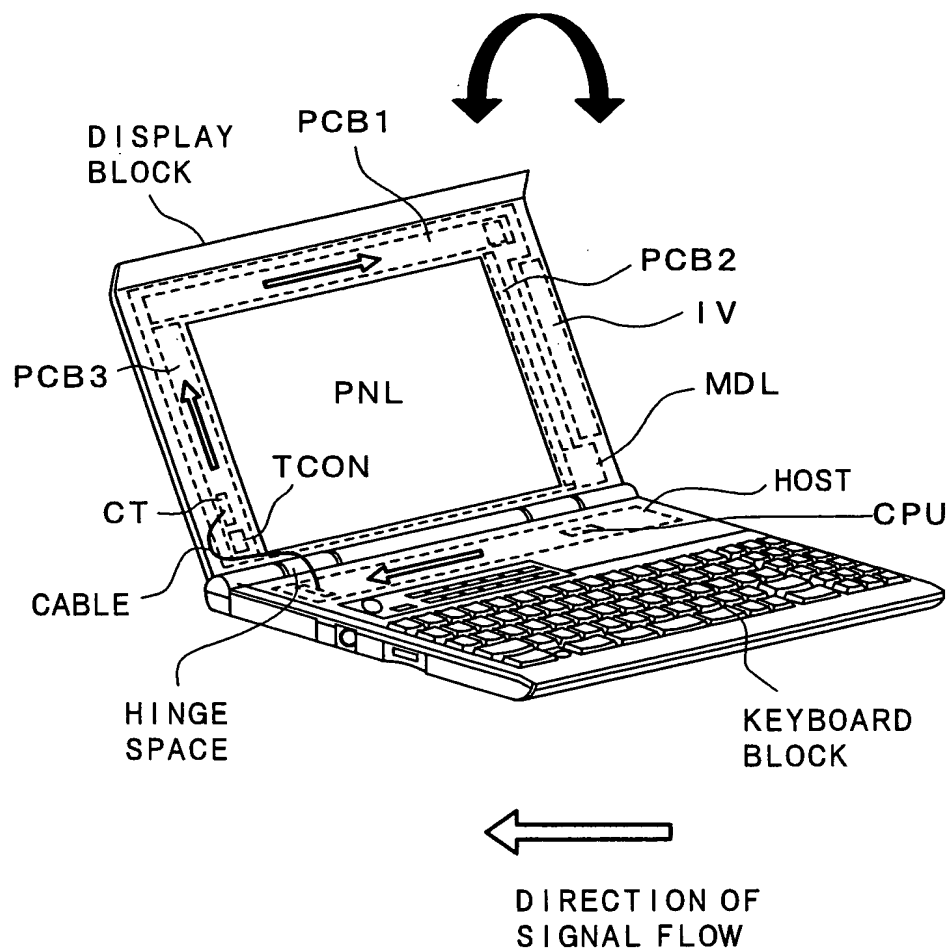


Fig. 14(A)

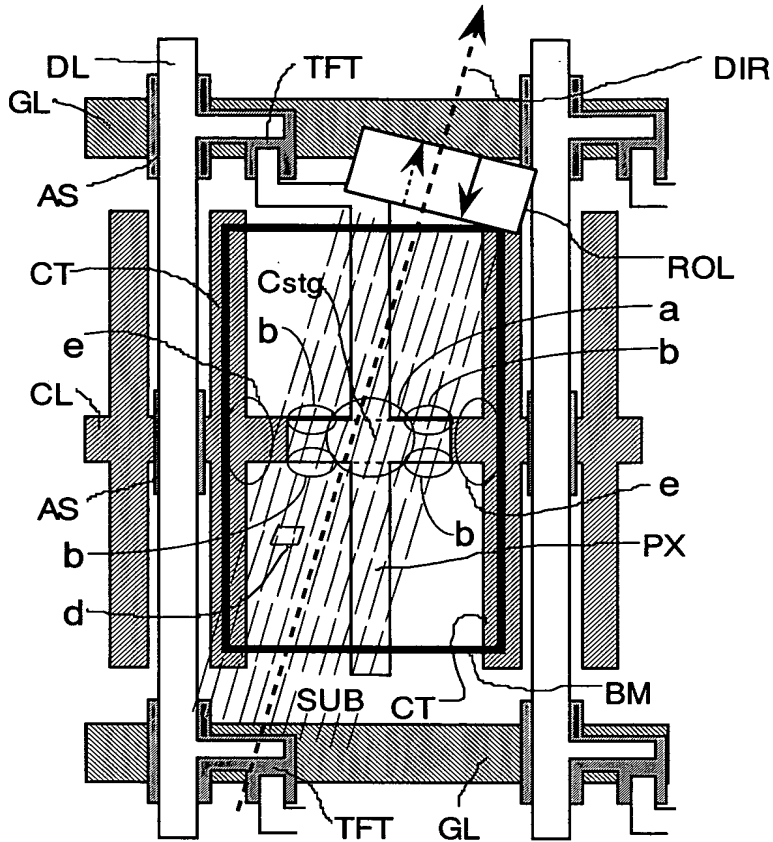


Fig. 14(B)

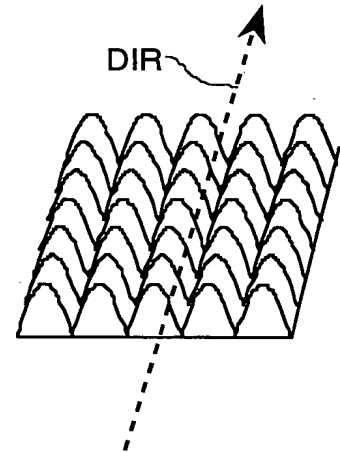


Fig. 14(C)

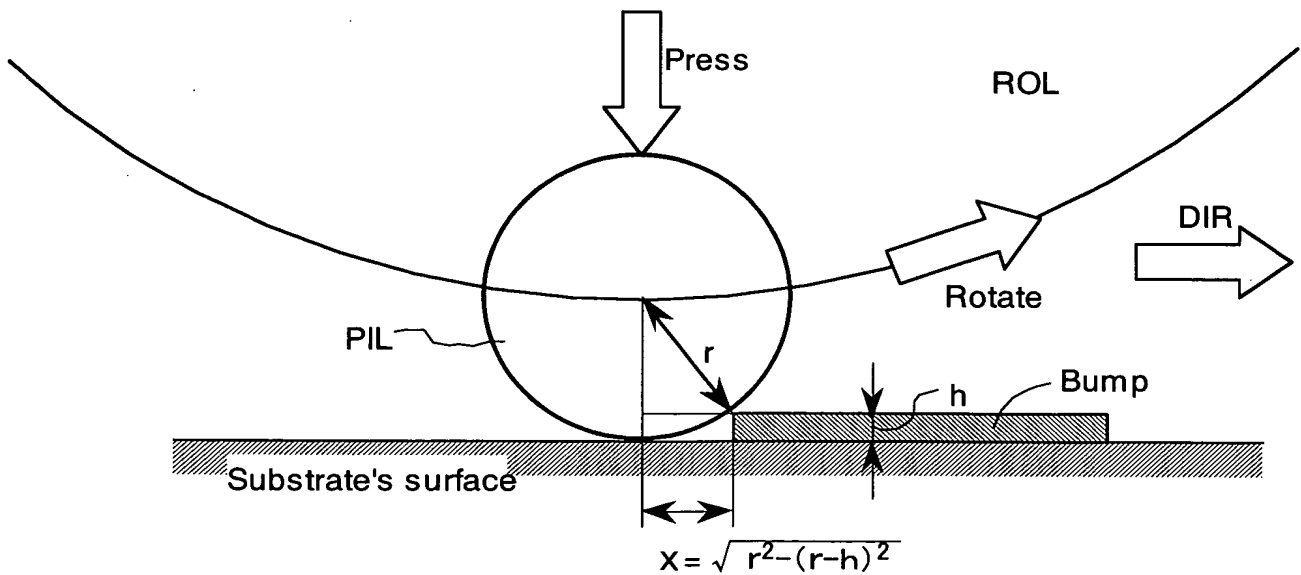


Fig. 15

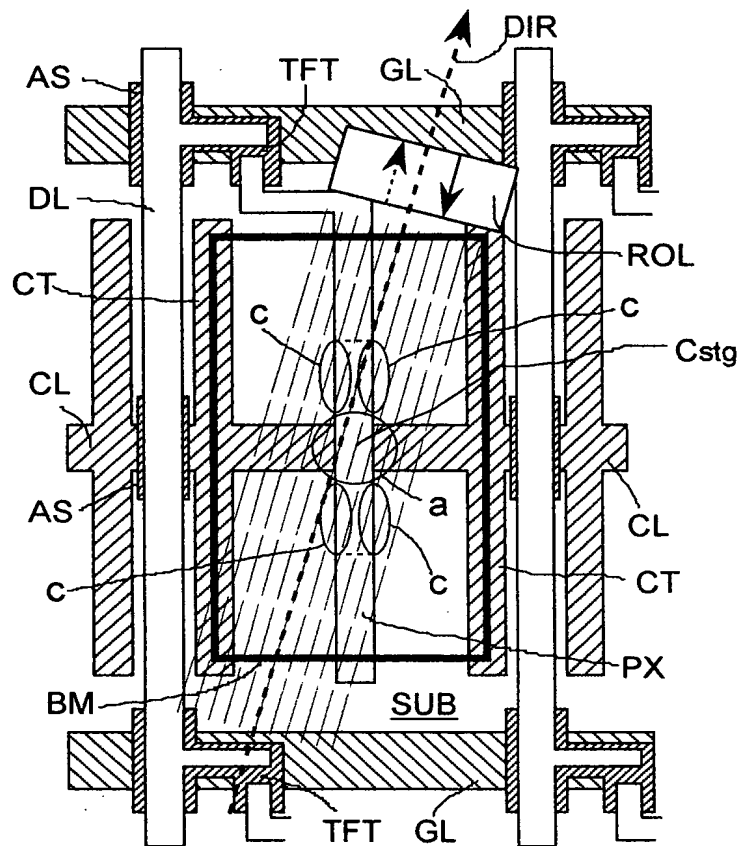


Fig. 16

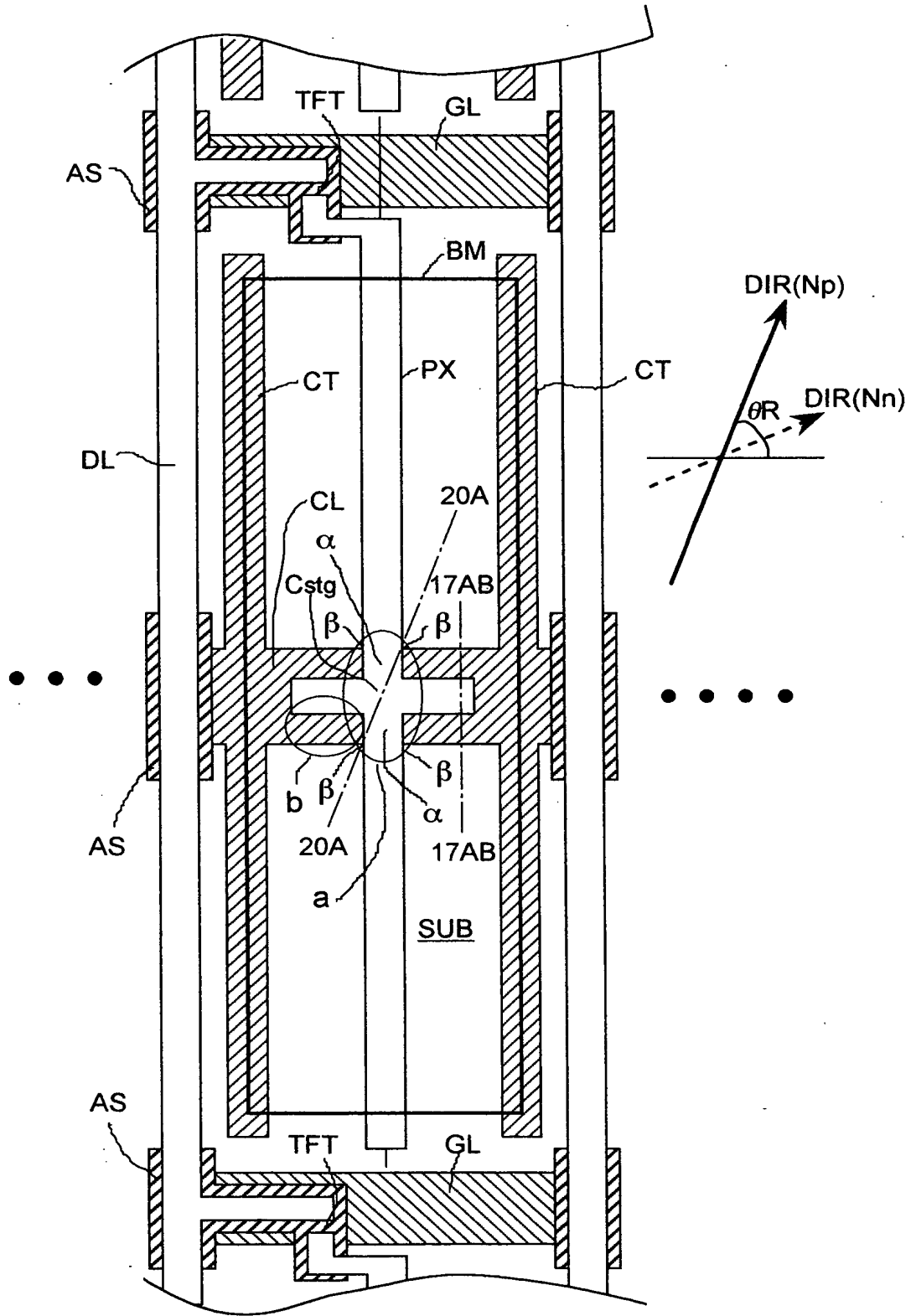


FIG. 17 (A)

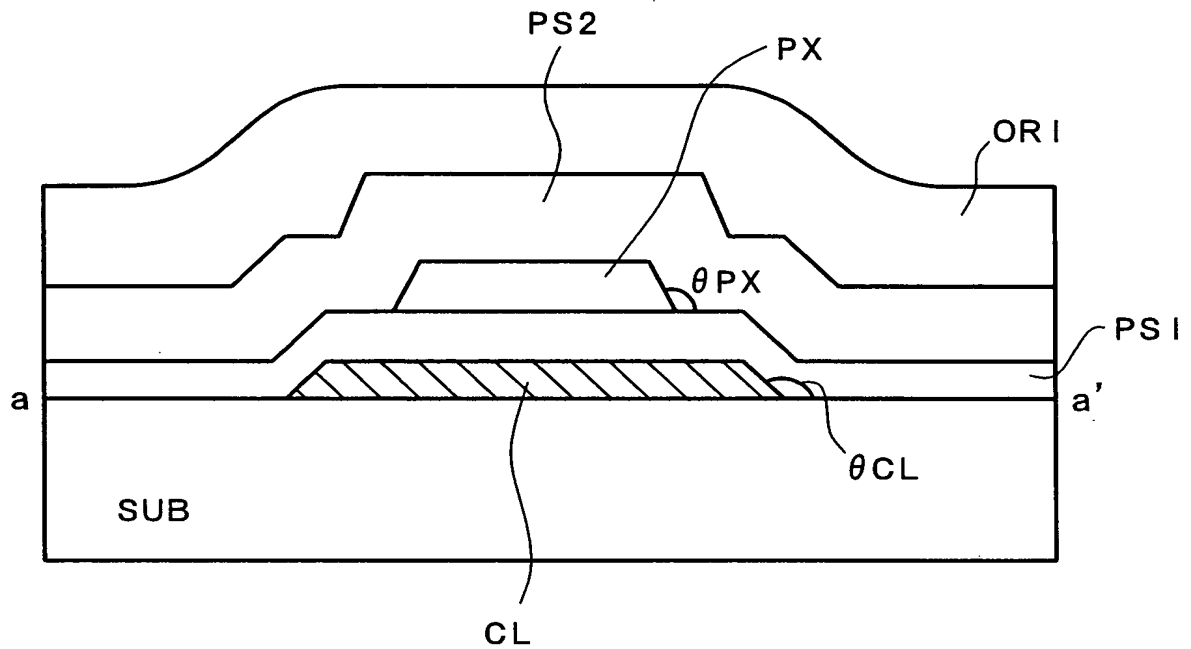


FIG. 17 (B)

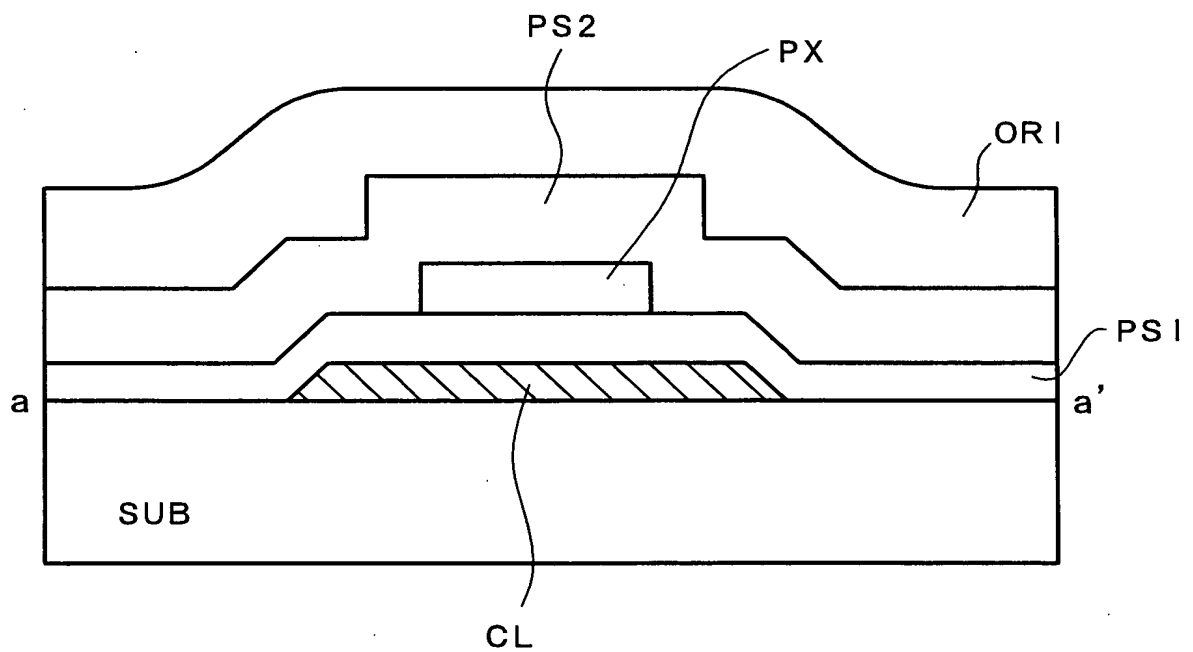


FIG. 18

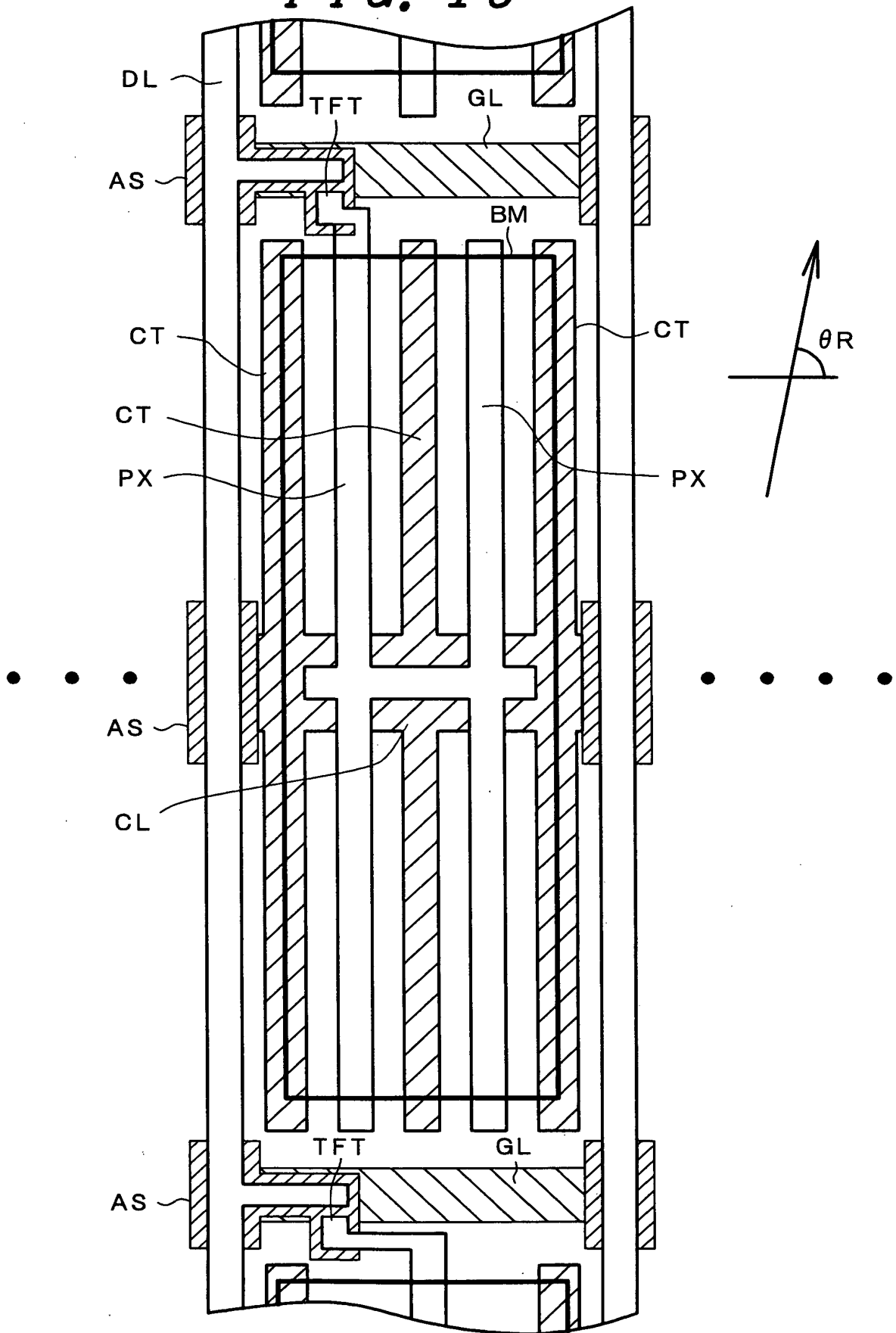


FIG. 20 (A)

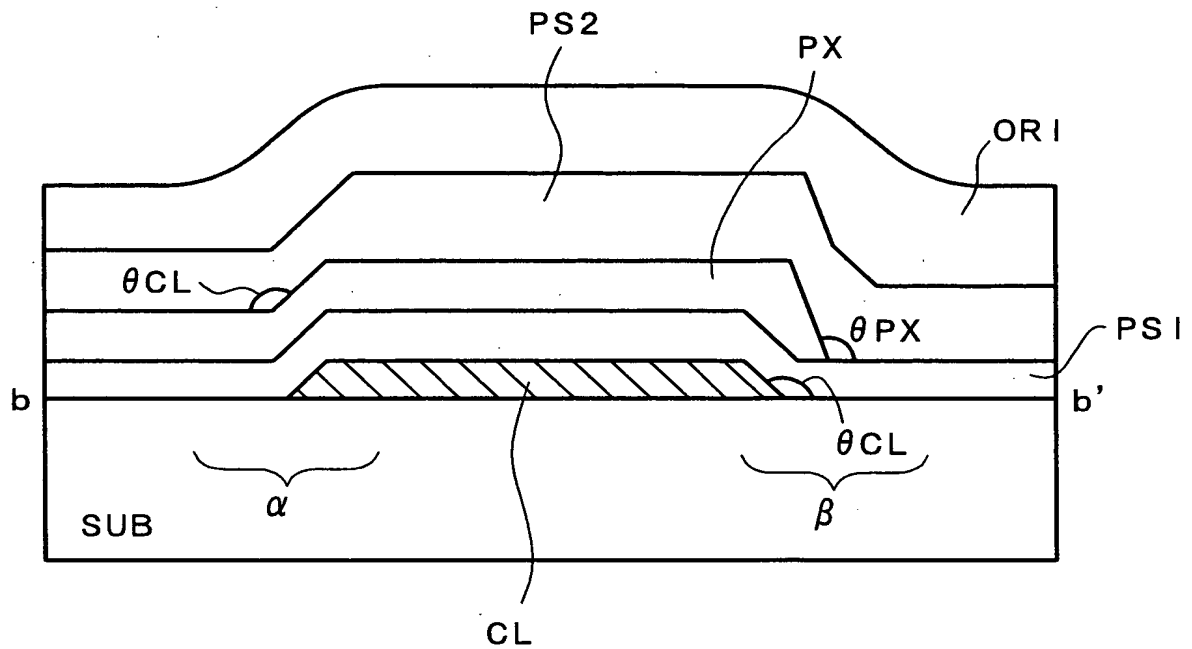


FIG. 20 (B)

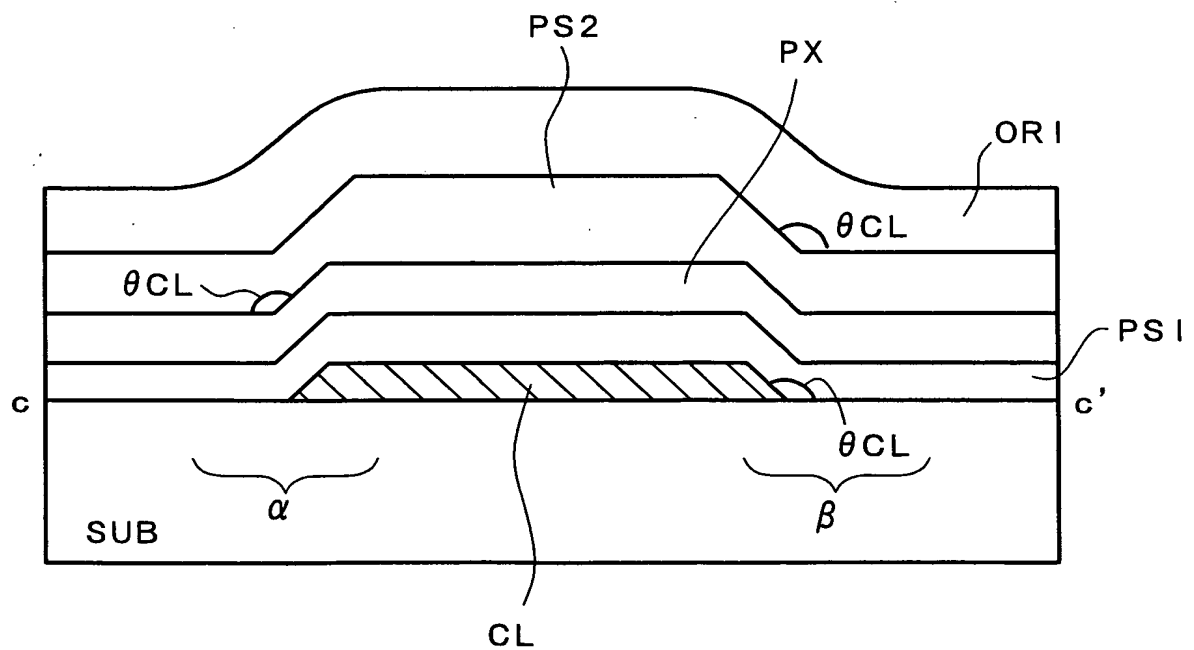
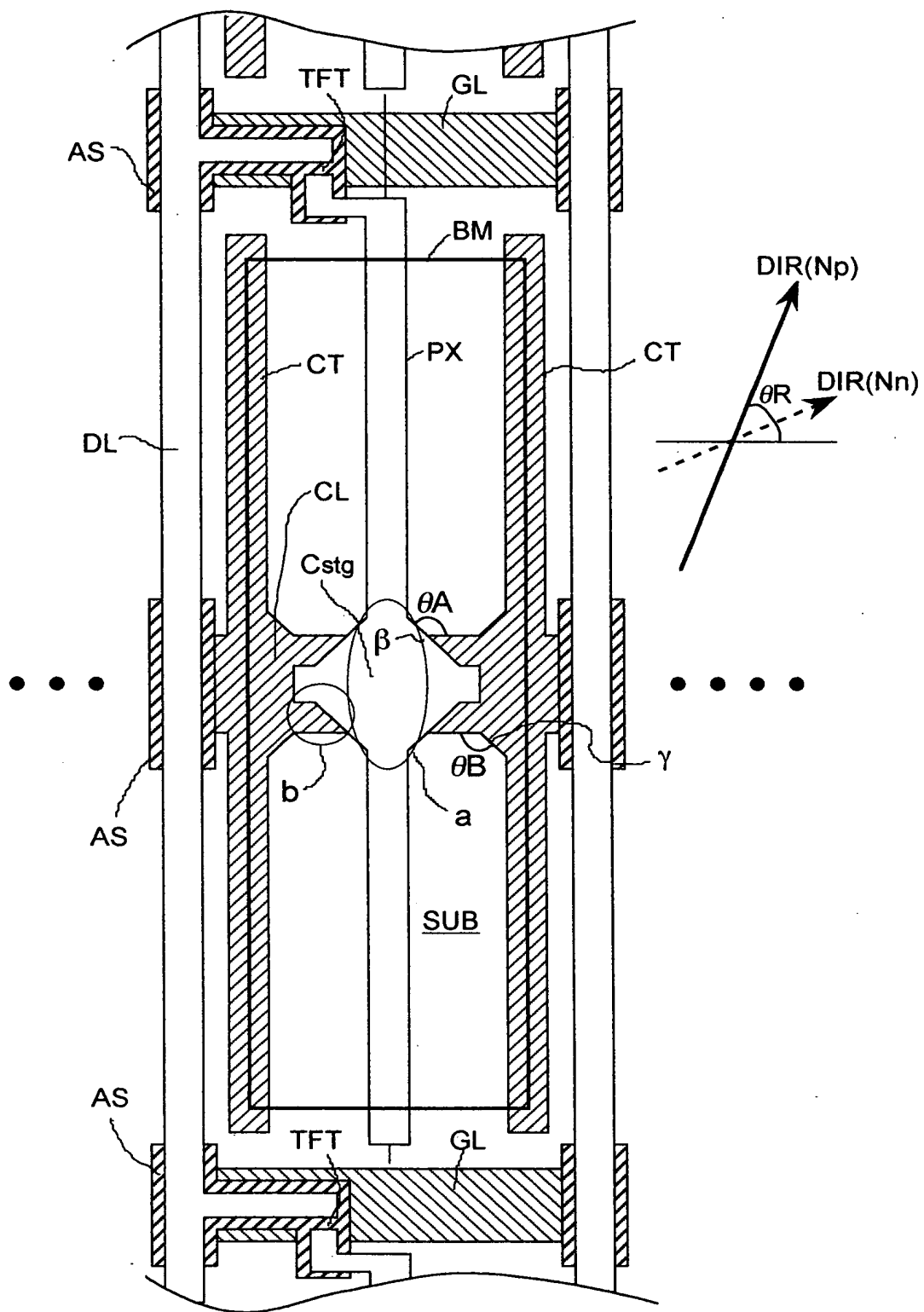


Fig.22



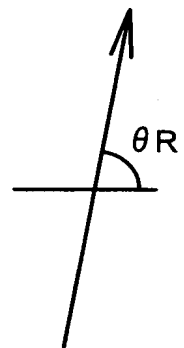


FIG. 24 (A)

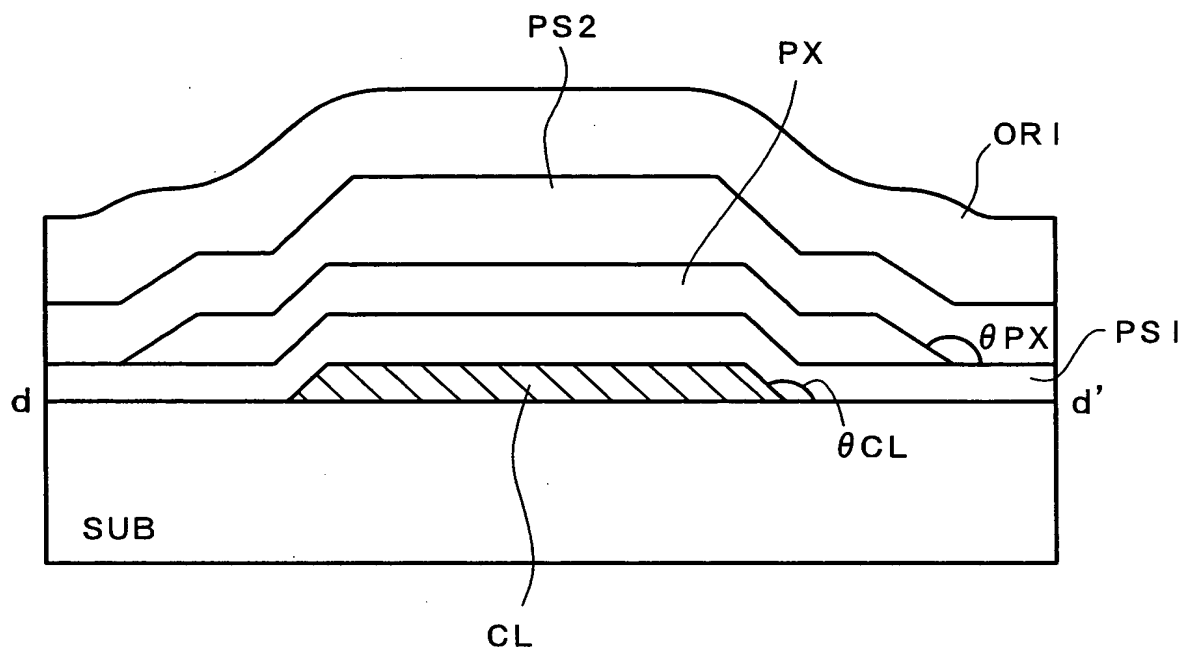


FIG. 24 (B)

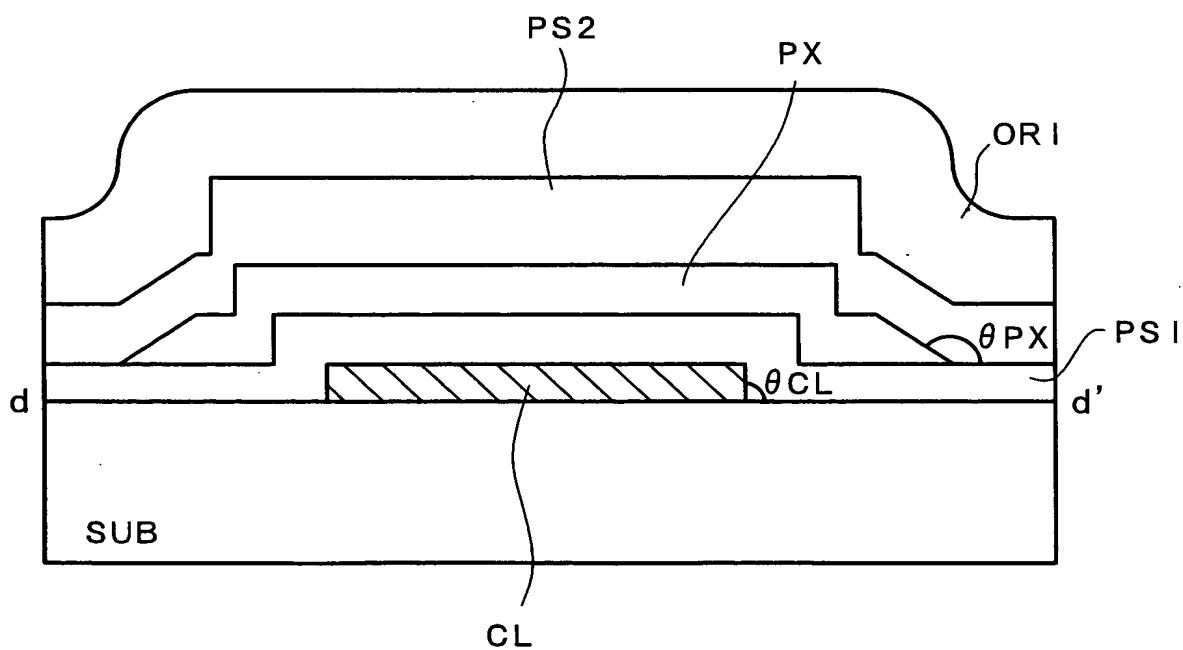


FIG. 25

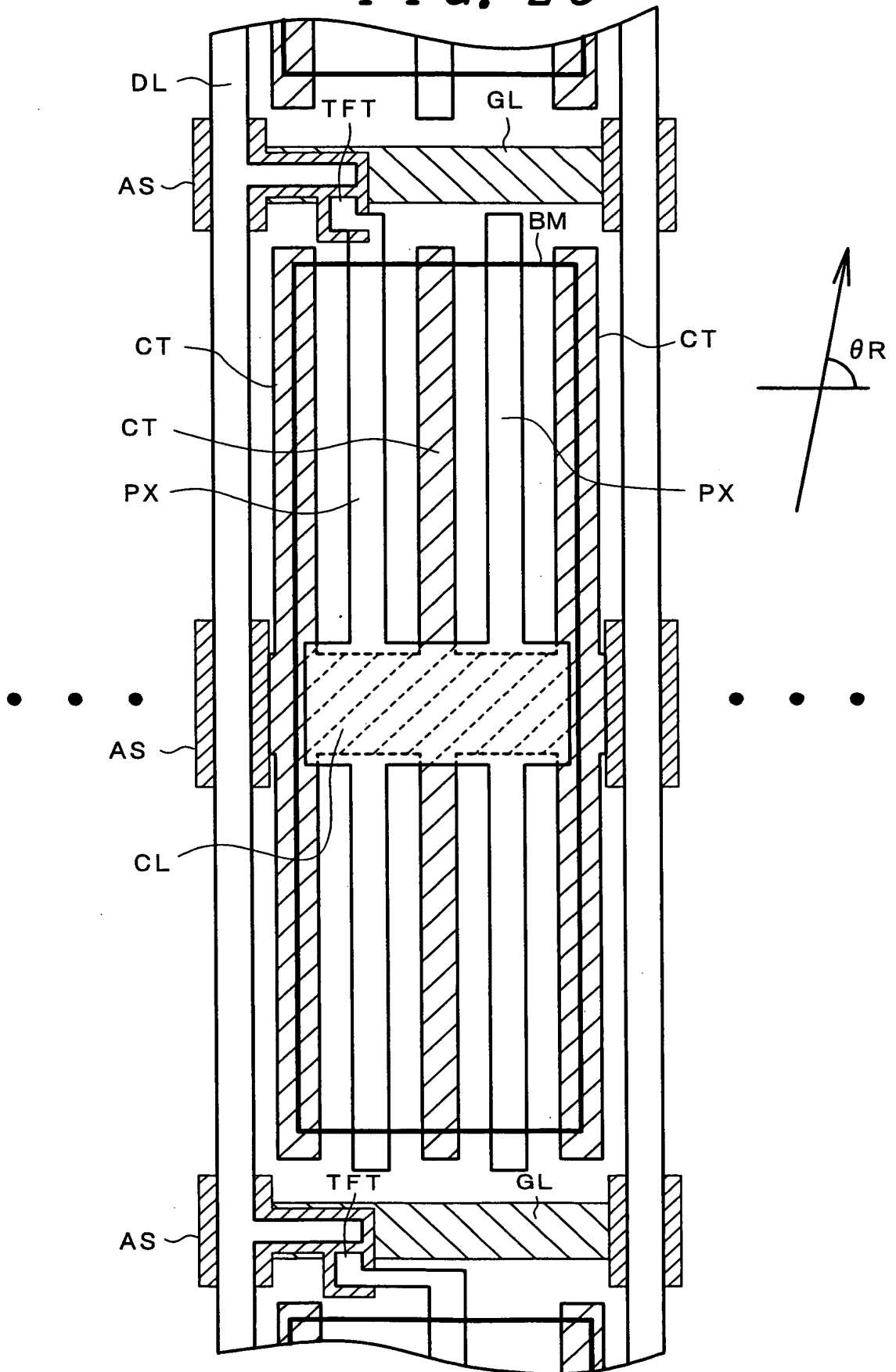


Fig. 26(A)

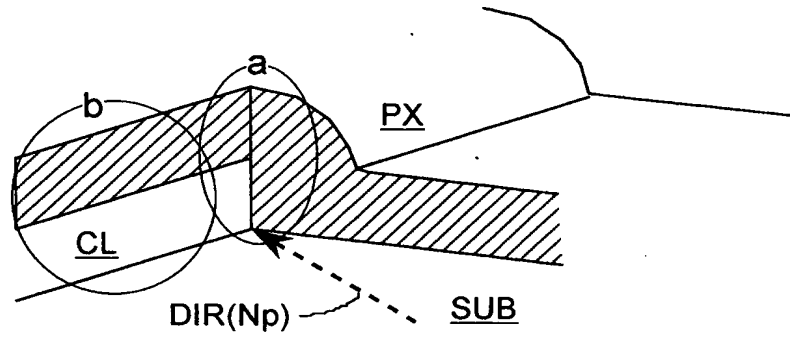


Fig. 26(B)

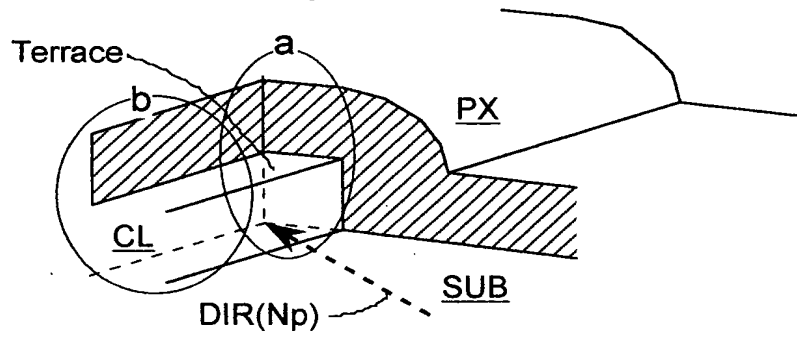


Fig. 26(C)

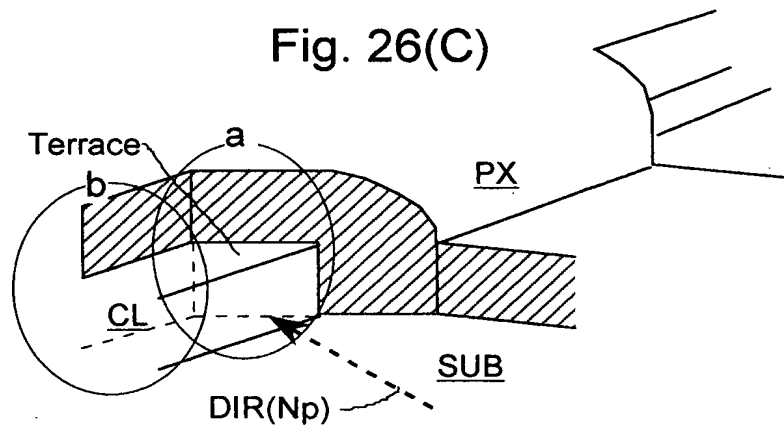


Fig. 27

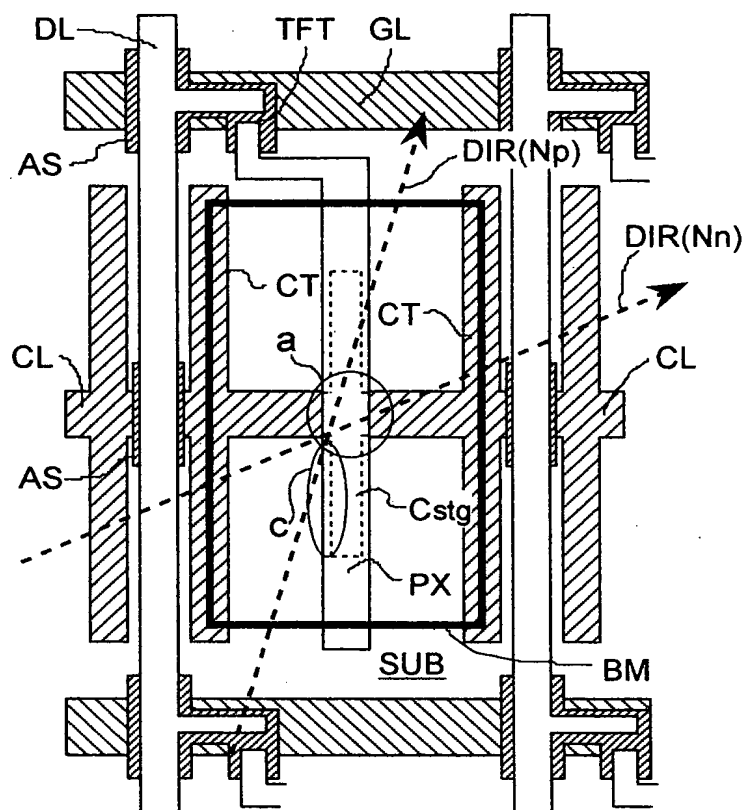


Fig. 28

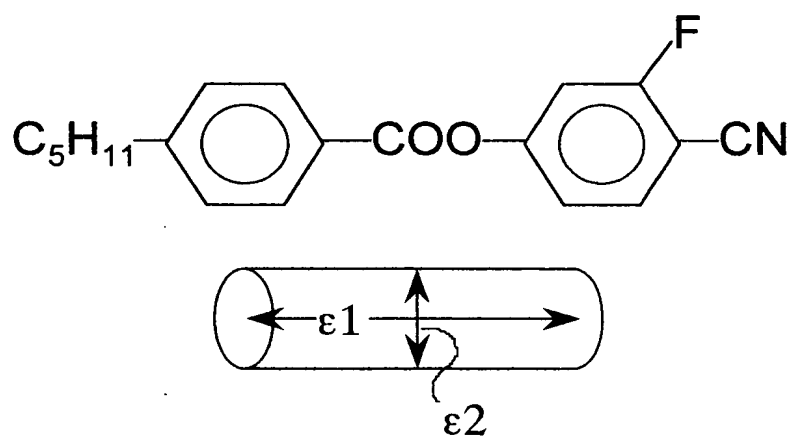


Fig. 29(A)

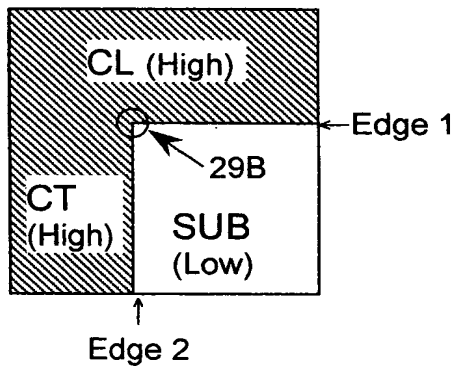


Fig. 29(B)

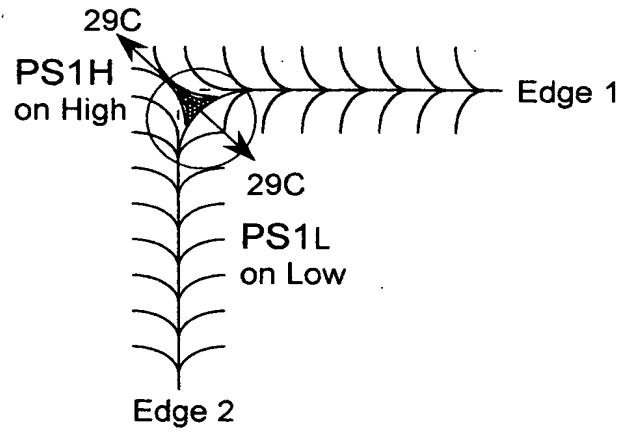


Fig. 29(C)

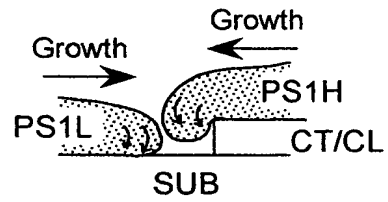


Fig. 29(D)

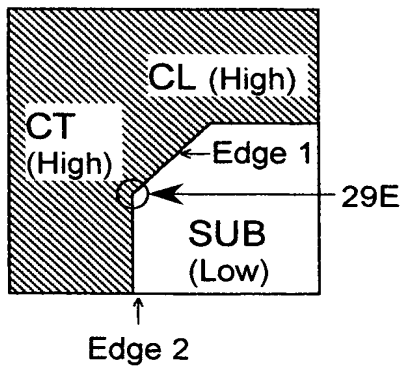


Fig. 29(E)

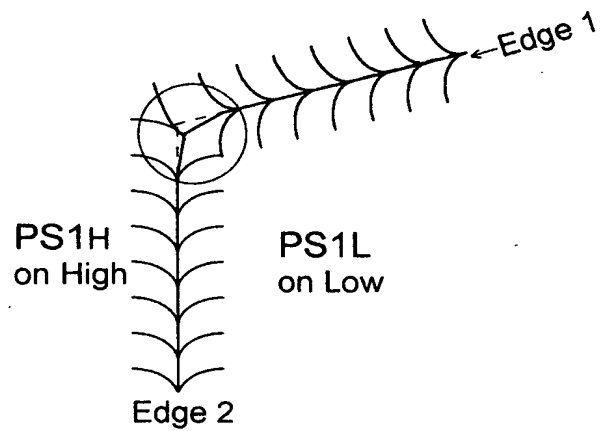


Fig. 30(A)

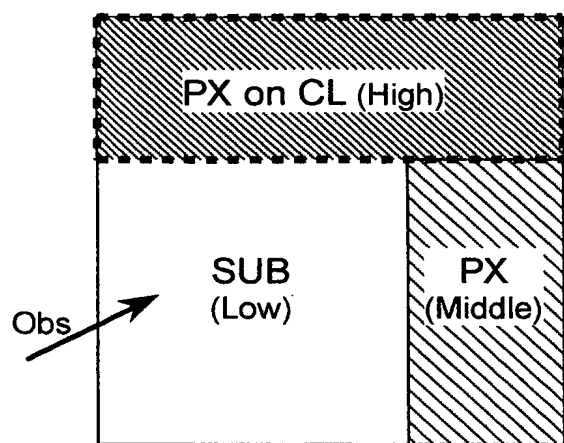


Fig. 30(B)

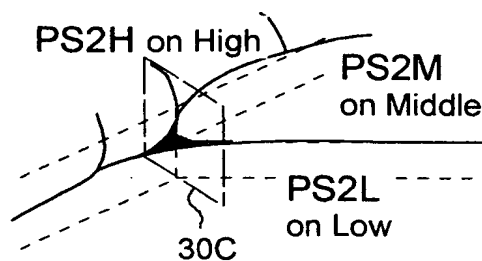


Fig. 30(C)

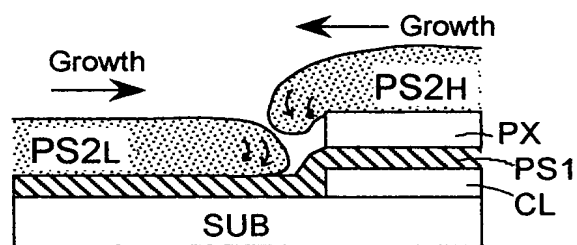


Fig. 30(D)

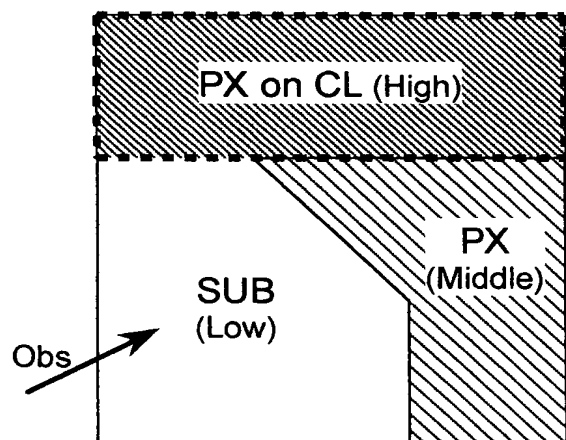


Fig. 30(E)

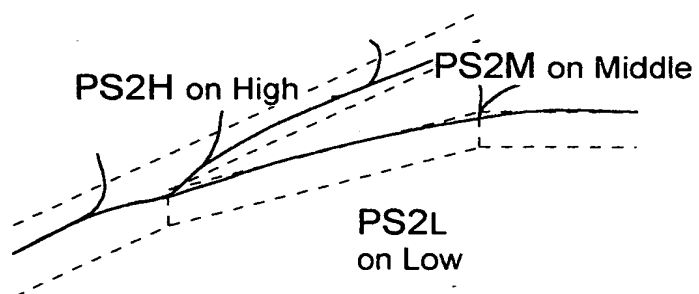


Fig. 31(A)

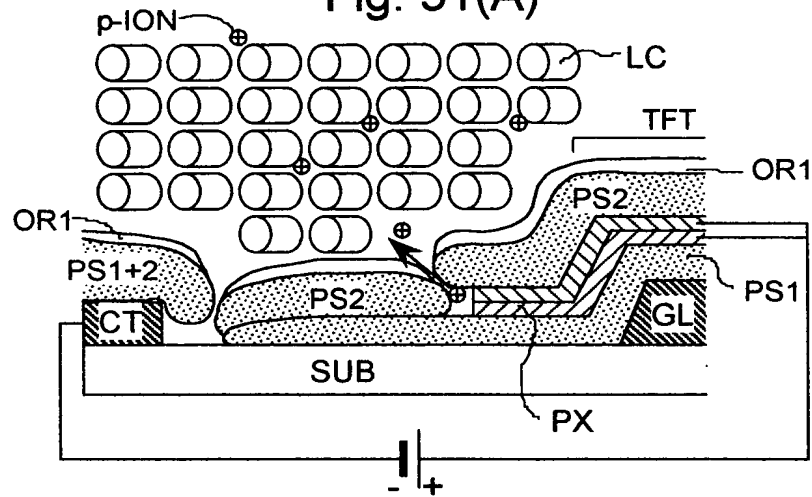


Fig. 31(B)

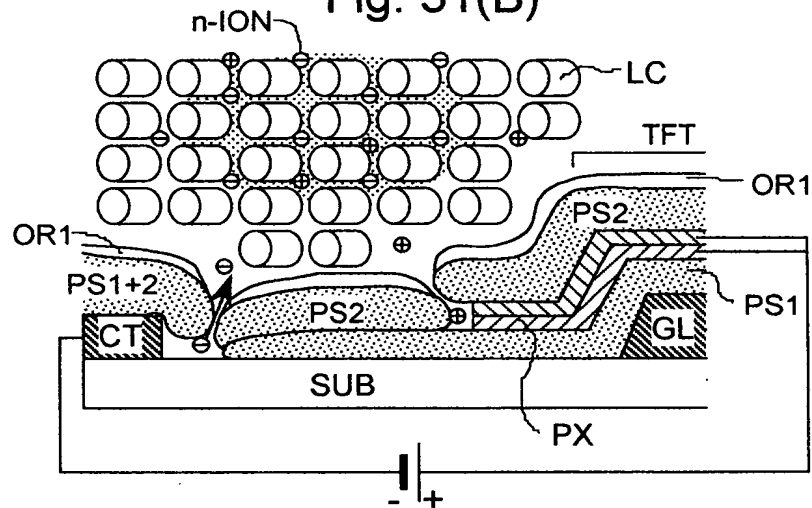


Fig. 31(C)

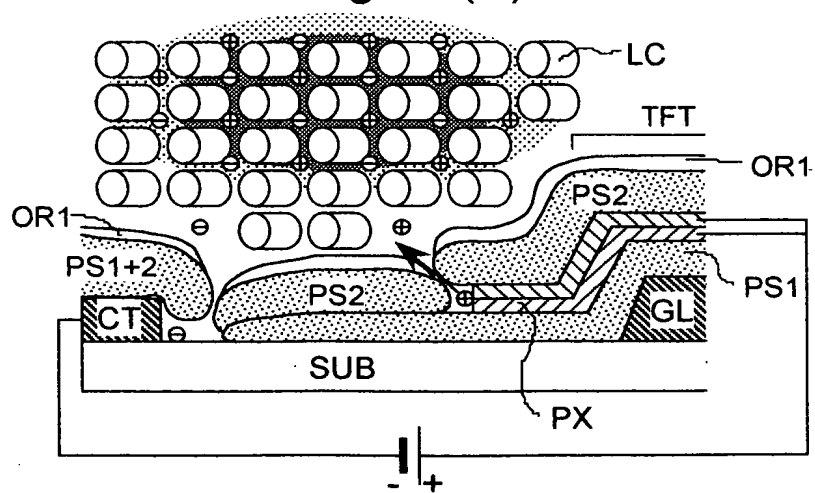
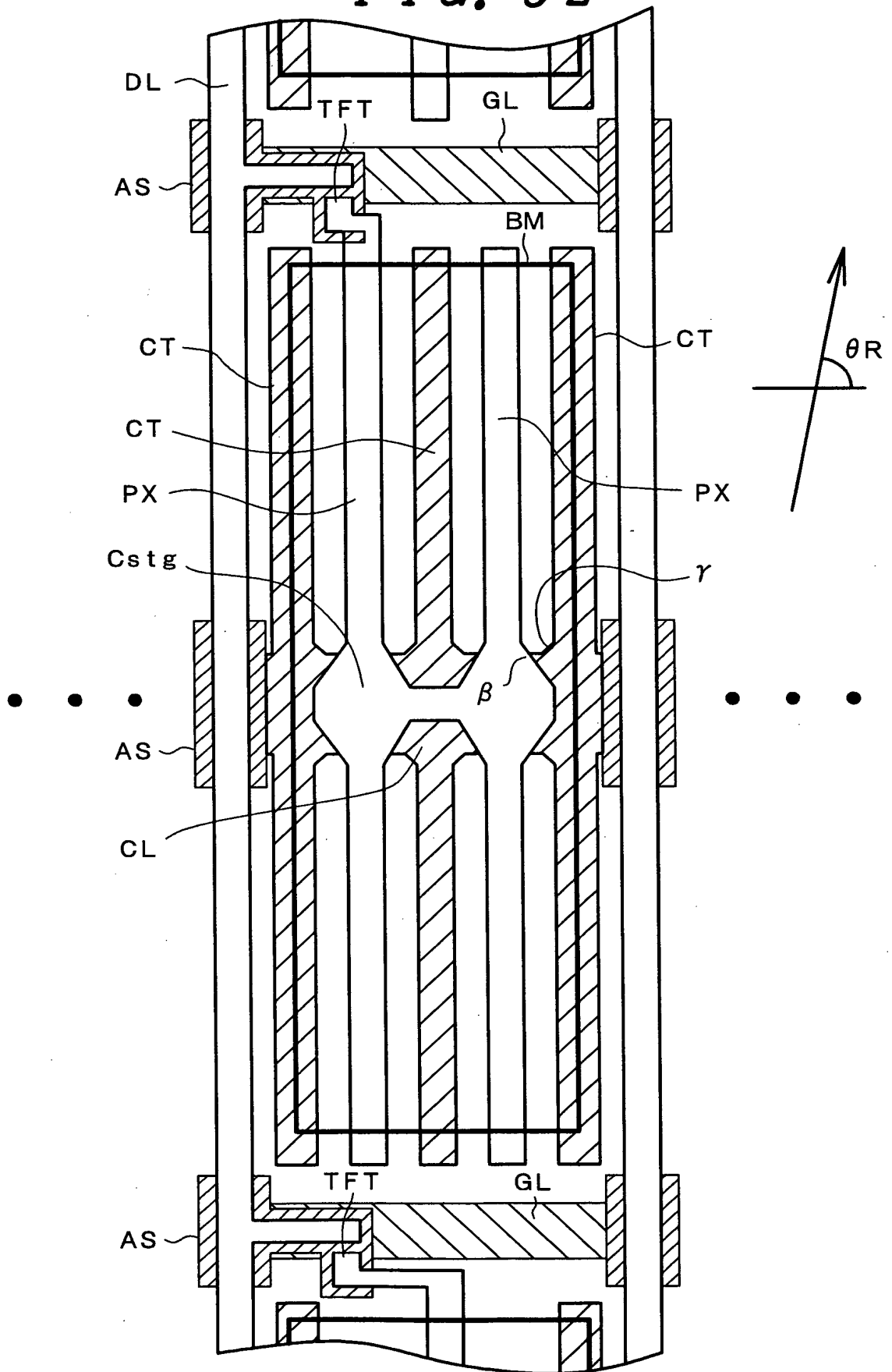


FIG. 32



DL

TFT

GL

AS

BM

CT

PX

CT

Cstg

AS

CL

TFT

GL

AS

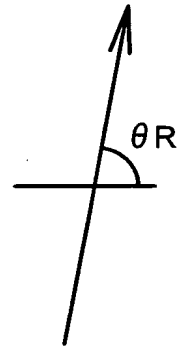
θR

θA

θB

γ

β



DL

AS

TFT

GL

BM

CT

CT

PX

PX

Cstg

AS

CL

TFT

GL

AS

γ

β

θR

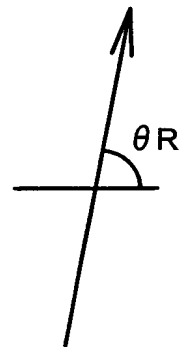


Fig. 35(A)

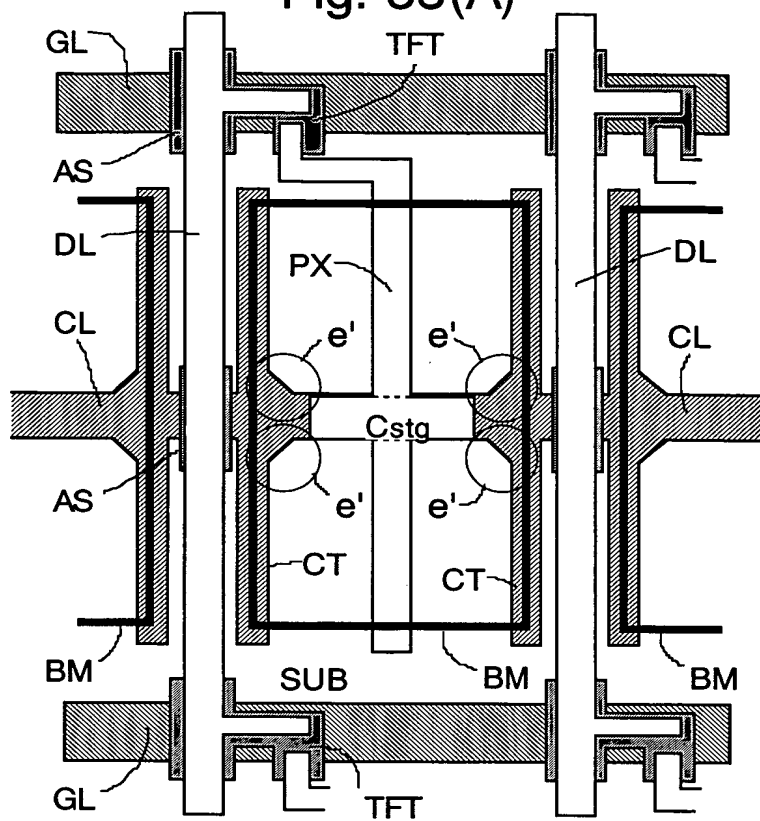


Fig. 35(B)

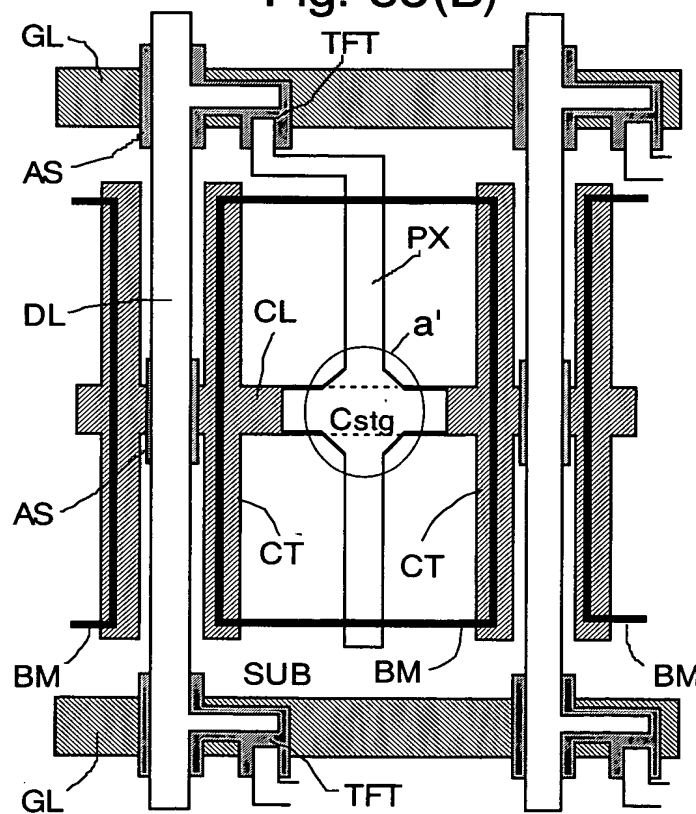


Fig. 36(A)

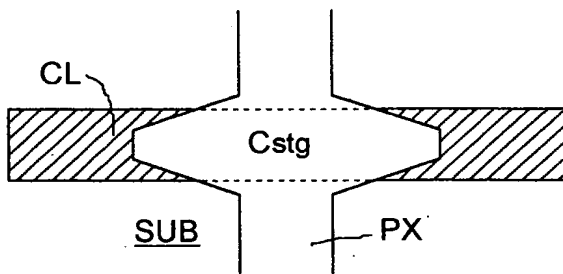


Fig. 36(B)

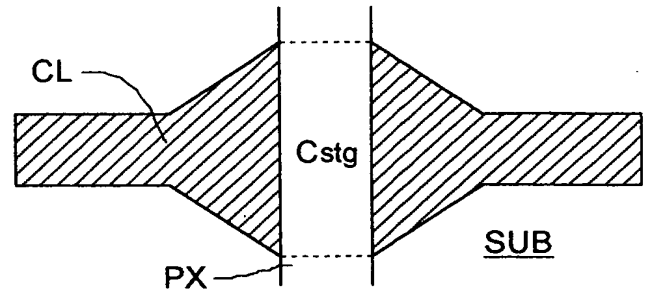


Fig. 37

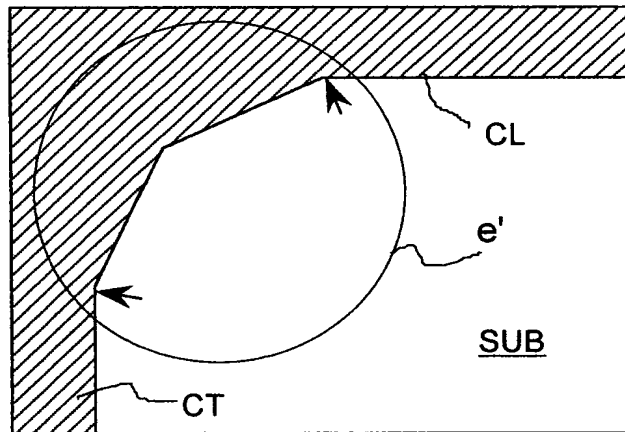


Fig. 38(A)

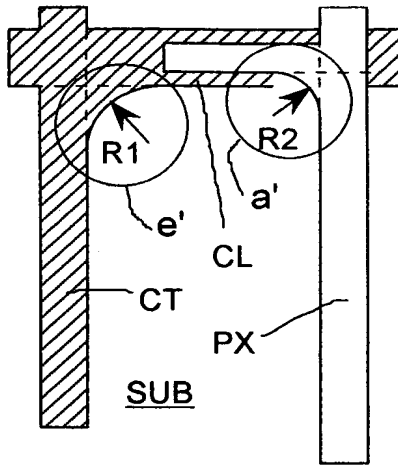


Fig. 38(B)

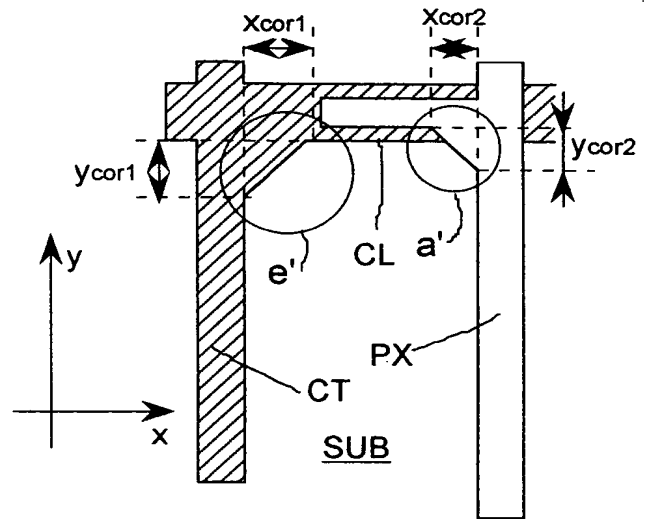


Fig. 39

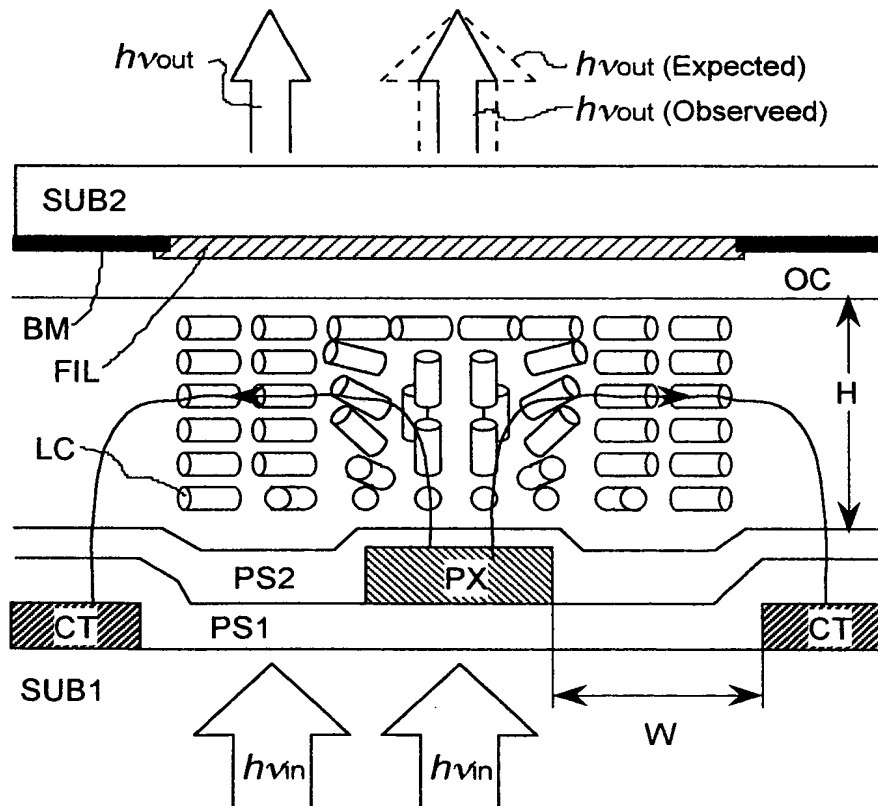


Fig. 40(A)

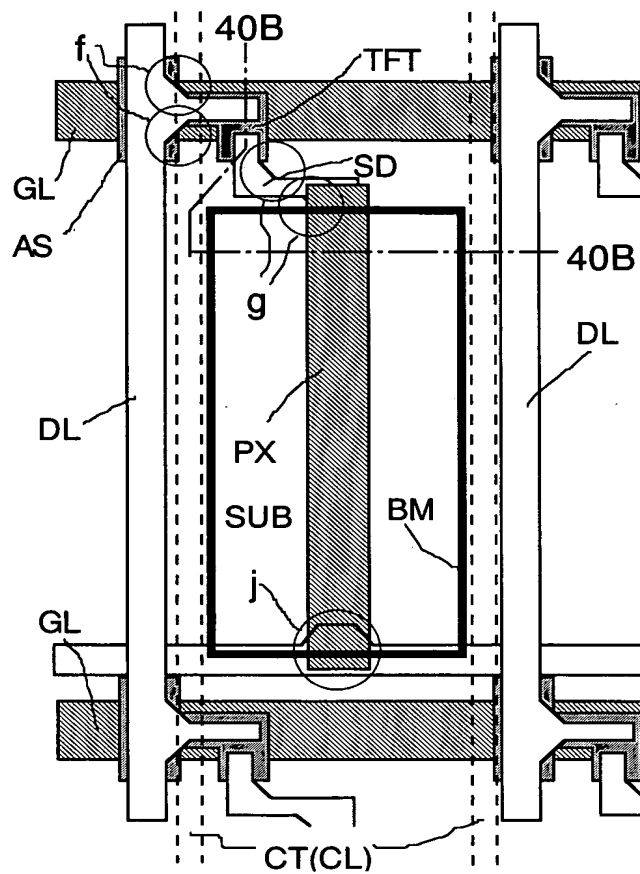


Fig. 40(B)

